

Investigating the cytotoxic effect of aqueous extract of *Peganum harmala* on oxaliplatin-resistant HCT116 cell line and evaluating *BAX* gene expression

Zahra Salimizadeh¹ , Sattar Tahmasebi Enferadi² , Tayebeh Majidizadeh¹ ,
Razieh Jalal³ , Frouzandeh Mahjoubi^{1*} 

¹ Dept of Medical Genetic, National Institute of Genetic Engineering and Biotechnology, Tehran, Iran

² Dept of Plant Biotechnology, National Institute of Genetic Engineering and Biotechnology, Tehran, Iran

³ Dept of Chemistry, Faculty of Science, Ferdowsi University of Mashhad, Mashhad, Iran

Article Info

A B S T R A C T

Article type:

Research article

Article History:

Received: Sept. 28, 2024

Received in revised form:

Dec. 02, 2024

Accepted: Jan. 18, 2025

Published Online: Apr. 16, 2025

*** Correspondence to:**

Frouzandeh Mahjoubi

Dept of Medical Genetic,
National Institute of Genetic
Engineering and Biotechnology,
Tehran, Iran

Email:

frouz@nigeb.ac.ir

Introduction: Colorectal cancer is a prevalent digestive tract malignancy, with oxaliplatin being an effective chemotherapeutic drug, but long-term use can lead to drug resistance. It is crucial to develop methods to reduce CRC cells' oxaliplatin resistance. *Peganum harmala L.* (*P. harmala*), is a common anticancer treatment in traditional medicine.

Materials & Methods: The study used *P. harmala* seeds extract to treat oxaliplatin-resistant HCT116 cells for 24 and 48 hours. Cell viability was determined using the MTT assay, and RNA extraction was performed from the treated and control cells. cDNA synthesis was performed using extracted RNAs, and the expression level of the *BAX* gene was analyzed using Real-Time PCR. Statistical analysis was conducted using Graph Pad Prism 8 software and t-test, with a significance level of P less than 0.05.

Results: Findings indicated a significant correlation between the increase in the concentration of extract and the percentage of dead cells. The cytotoxicity of the aqueous extract of *P. harmala* seeds significantly increased from 24 to 48 hours in oxaliplatin-resistant HCT116 cells. Furthermore, a significant and considerable upregulation in the relative expression of the *BAX* gene was observed compared to the control group ($P<0.001$).

Conclusion: The cytotoxic effect of the aqueous extract of *P. harmala* is dose- and time-dependent. The extract has the potential to induce apoptosis in colorectal cancer cells by regulating apoptosis-related genes, particularly by upregulating pro-apoptotic genes such as *BAX*.

Keywords: oxaliplatin, *BAX*, colorectal cancer, *P. harmala*, aqueous extract

How to cite this paper: Salimizadeh Z, Tahmasebi Enferadi S, Majidizadeh T, Jalal R, Mahjoubi F. Investigating the cytotoxic effect of aqueous extract of *Peganum harmala* on oxaliplatin-resistant HCT116 cell line and evaluating *BAX* gene expression. *Journal of Ilam University of Medical Sciences*. 2025;33(1):111-126.

Introduction

Colorectal cancer is among the most prevalent malignant tumors of the digestive tract (1). Treatment strategies for colorectal cancer (CRC) are determined by the stage of the cancer, the location of the tumor, and individual patient factors (2). Current management strategies for colorectal cancer (CRC) involve surgical resection for operable cases, while non-resectable tumors are treated with radiotherapy, chemotherapy, immunotherapy, or a

combination of these approaches. For the treatment of colorectal cancer, oxaliplatin is an effective chemotherapeutic drug; however, long-term use of this medication often results in drug resistance (2). It is crucial to develop methods to reduce CRC cells' oxaliplatin resistance (4). As a result, the demand for new anticancer drugs with enhanced efficacy and reduced side effects is increasing (6). Due to their historical success, medicinal plants are considered a valuable source for the discovery



of novel chemical compounds with potential anticancer activity. *Peganum harmala L.* (*P. harmala*) is a common anticancer treatment in traditional medicine (5). This plant is a member of the Zygophyllaceae family. *P. harmala* is native to several regions, including Iran and other countries in the Middle East (4). The common name of this plant is *P. harmala*, and in Iran, it is traditionally known as "Esfand," "Espand," and "Harmal." (4). Extraction from medicinal plants is carried out using various methods and different solvents (5, 6). It is evident that the properties of the produced extracts vary depending on the extraction method and the solvent used. The solvents commonly used for extraction include water and organic solvents.

Methods

Wild *P. harmala* seeds were collected from Shahrekord Mountain, located in Chaharmahal and Bakhtiari Province, Iran. Extraction from *Peganum harmala* seeds was performed using the aqueous method. HCT116/OXA cells were seeded into 96-well microplates at a density of 3200 cells per well for overnight incubation. The cells were subsequently treated with aqueous extract of *P. harmala* seeds, at concentrations ranging from 0.05 to 0.4 mg/mL, for 24 and 48 hours. After the treatment periods, cell viability was measured using the MTT assay. The experimental data were analyzed using GraphPad Prism 8, with the Dunnett test and one-way analysis of variance (ANOVA) applied to compare the MTT results. RNA extraction from both control and treated cells (IC_{50}) was carried out using the HiPure Isolation Reagent (Roche Applied Sciences). NanoDrop was used to measure the concentration of extracted RNAs. After RNA extraction, the quality and quantity of the extracted RNA were assessed. Following this, cDNA synthesis was performed using the extracted RNAs with the Norgen Biotek Crop kit. The expression level of the *BAX* gene was analyzed using real-time PCR. Real-time PCR amplification was carried out using the SYBR Fast qPCR kit (Ampliqon A/S, Denmark). Glyceraldehyde 3-phosphate dehydrogenase (*GAPDH*) was used as the reference gene to normalize the quantitative data. The mRNA expression of *BAX* was assessed 48 hours following treatment with the aqueous extract of *P. harmala* (IC_{50}). In this study, the fold change was calculated using

REST software. Also, GraphPad Prism 8 software and a t-test were used for statistical analysis between control and treated samples. P less than 0.05 was considered significant.

Results

The results of the analysis indicated a significant correlation between the increase in the concentration of extract and the percentage of dead cells. The cytotoxicity of the aqueous extract of *P. harmala* seeds significantly increased from 24 to 48 hours in oxaliplatin-resistant HCT116 cells. The IC_{50} values were determined to be 0.2 mg/mL and 0.14 mg/mL after 24 and 48 hours of exposure to the aqueous extract of *P. harmala*, respectively. Subsequently, RNA was extracted from both control and treated cells. In the gel analysis, the presence of two bands corresponding to 18S and 28S ribosomal RNA indicated that the RNA was not degraded and that the extracted RNA was intact. In spectrophotometric analysis, the A260/A280 ratio was found to be between 1.8 and 2, which signifies a high degree of RNA purity and the absence of contamination with proteins or phenolic compounds (such as guanidine thiocyanate). The results of this stage confirmed that the extracted RNA was suitable for use in further experimental procedures. *BAX* mRNA expression was evaluated after treatment with *P. harmala* aqueous extract. A significant and considerable upregulation in the relative expression of the *BAX* gene was observed compared to the control group ($P<0.001$).

Conclusion

The cytotoxic effect of the aqueous extract of *P. harmala* is dose- and time-dependent. The extract has the potential to induce apoptosis in colorectal cancer cells by regulating apoptosis-related genes, particularly by upregulating pro-apoptotic genes such as *BAX*. These results suggest that the aqueous extract of *P. harmala* may serve as a potential therapeutic agent for drug-resistant colorectal cancer cells.

Authors' Contribution

Conceptualization: ZS, FM, Methodology: ZS, RJ, Validation: ST, RJ, Formal Analysis, Software, Investigation, Resources, Data Curation: ZS, Writing—Original Draft Preparation: ZS, FM, Writing—Review & Editing: ST, FM, TM, ZS, Visualization: TM, Supervision: ST, FM,

Project Administration: FM.

Ethical Statement

As this study did not involve the use of human or animal subjects, obtaining an ethics approval code was not applicable.

Conflicts of Interest

The authors declare no conflict of interest.

Funding

This study was fully supported by National Institute for Genetic Engineering and Biotechnology (NIGEB).

Acknowledgment

The authors would like to sincerely thank Dr. Cheraghi for providing the oxaliplatin-resistant HCT116 cell line used in this research.

بررسی اثر سیتوکسیک عصاره آبی گیاه اسپند بر رده سلولی HCT116 مقاوم به اگرالی‌پلاتین و ارزیابی بیان ژن *BAX*

زهرا سلیمانی‌زاده^۱ ، ستار طهماسبی افراطی^۱ ، طبیه مجیدی‌زاده^۲ ، راضیه جلال^۳ ، فروزنده محجوی^{۱*} 

^۱ گروه ژنتیک پزشکی، پژوهشکده ملی مهندسی ژنتیک و بیوتکنولوژی، تهران، ایران

^۲ گروه بیوتکنولوژی گیاهی، پژوهشکده ملی مهندسی ژنتیک و بیوتکنولوژی، تهران، ایران

^۳ گروه شیمی، دانشگاه علوم، دانشگاه فردوسی مشهد، مشهد، ایران

اطلاعات مقاله

نوع مقاله: پژوهشی

تاریخ دریافت: ۱۴۰۳/۰۷/۰۷

تاریخ ویرایش: ۱۴۰۳/۰۹/۱۲

تاریخ پذیرش: ۱۴۰۳/۱۰/۲۹

تاریخ انتشار: ۱۴۰۴/۰۱/۲۷

نویسنده مسئول:

فروزنده محجوی

گروه ژنتیک پزشکی،

پژوهشکده ملی مهندسی ژنتیک

و بیوتکنولوژی، تهران، ایران

مقدمه: سرطان کولورکتال یکی از شایع‌ترین تومورهای بدخیم دستگاه گوارش در جهان است. اگرالی‌پلاتین یک داروی شیمی‌درمانی مؤثر برای درمان سرطان کولورکتال است. با این حال، استفاده طولانی مدت از این دارو اغلب به مقاومت دارویی منجر می‌شود. توسعه روش‌هایی برای کاهش مقاومت سلول‌های سرطان کولورکتال به اگرالی‌پلاتین بسیار مهم است. اسپند درمان ضدسرطان رایجی در طب سنتی است.

مواد و روش‌ها: در این تحقیق از دوزهای مختلف عصاره آبی دانه‌های اسپند برای تیمار سلول‌های HCT116 مقاوم به اگرالی‌پلاتین به مدت ۲۴ و ۴۸ ساعت استفاده شد. زنده‌ماندنی سلول‌ها با استفاده از روش متیل تیازول ترازاولیوم تعیین گردید؛ سپس استخراج RNA از سلول‌های تیمارشده (IC₅₀) و سلول‌های کنترل انجام شد. برای اندازه‌گیری غلظت RNA‌های استخراج شده از نانودرایپ استفاده گردید. در این مطالعه، میزان fold change با نرم‌افزار REST محاسبه شد؛ همچنین برای تجزیه و تحلیل آماری از نرم افزار Graph Pad Prism و آزمون t-test میان نمونه‌های کنترل و تیمار استفاده گردید. P-متر از ۰/۰۵ معنی دار در نظر گرفته شد.

یافته‌های پژوهش: نتایج تجزیه و تحلیل نشان داد که میان افزایش غلظت عصاره و درصد سلول‌های مرده ارتباط معنی داری وجود دارد. میزان سمیت سلولی عصاره آبی دانه‌های اسپند از ۲۴ به ۴۸ ساعت به ۴۸٪ افزایش نمود. در رده سلولی HCT116 اگرالی‌پلاتین افزایش معنی داری داشت. علاوه بر این، افزایش قابل توجه و معنادار در سطح بیان ژن *BAX* در مقایسه با گروه کنترل مشاهده شد ($P<0.001$).

بحث و نتیجه‌گیری: در این مطالعه مشاهده گردید که اثر سایتوکسیک عصاره آبی اسپند وابسته به دوز و زمان بود. عصاره آبی اسپند این توانایی را دارد که با تنظیم ژن‌های آپوپتوز، از جمله تقویت ژن‌های پرو-آپوپتوز مانند *BAX*، باعث مرگ سلولی در سلول‌های سرطان کولورکتال شود. نتایج نشان می‌دهد که عصاره آبی اسپند می‌تواند به طور بالقوه در درمان سلول‌های سرطان کولورکتال مقاوم به دارو مفید باشد.

واژه‌های کلیدی: اگرالی‌پلاتین، *BAX*، سرطان کولورکتال، عصاره آبی، *P. harmala*

استناد: سلیمانی‌زاده زهرا، طهماسبی افراطی ستار، مجیدی‌زاده طبیه، جلال راضیه، محجوی فروزنده. بررسی اثر سایتوکسیک عصاره آبی گیاه اسپند بر رده سلولی HCT116 مقاوم به اگرالی‌پلاتین و ارزیابی بیان ژن *BAX*. مجله دانشگاه علوم پزشکی ایلام، فروردین ۱۴۰۴؛ ۳۳(۱): ۱۲۶-۱۱۱.



سلول‌های سرطانی از طریق مسیرها و آبشارهای سیگنالدهی مختلف، نشان دادن آثار ضدآنژیوژن و معکوس کردن مقاومت دارویی (۱۴-۱۲). چندین داروی ضدسرطان که در حال حاضر استفاده بالینی می‌شوند، محصولات مشتق شده از گیاهان هستند و شامل تاکسول، وینblastین یا وینکریستین، ایرینوتکان، کامپتوسین و مشتقان یا آنالوگ‌های آن‌ها می‌گردند (۱۵). در مطالعات پیشین، اثر سیتوتوکسیک گیاهان متعددی بر سرطان کلون به صورت *in vivo* و *in vitro* بررسی شده است. از جمله این گیاهان می‌توان به گیاه خربوب (*Ceratonia siliqua*) اشاره کرد که با فعال‌سازی کاسپازهای ۳ و ۹ و برش PARP، موجب فعال‌سازی آپوپتوز میتوکندریایی در سلول‌های HCT-116 (سرطان کولورکتال) می‌شود و همچنین اثر پیشگیرانه عصاره آبی آن در موش BALB/c مشاهده گردیده است (۱۵). گیاه اسپند (*P. harmala*) از خانواده Zygophyllaceae، از دیرباز در طب سنتی ترکیه، ایران و چین برای درمان فشارخون، آسم، دیابت، عفونت‌های مختلف و همچنین به عنوان ضدغوفونی، ضدالتهاب و ضدسرطان استفاده می‌شده است (۱۶-۱۸). در طب سنتی مراکش، پودر دانه *P. harmala* را برای تومورهای پوستی تعجیز می‌کنند. داروی Spinal-Z که جزء اصلی آن عصاره دانه *P. harmala* است، به طور سنتی برای مقابله با سرطان‌های مختلف در ایران استفاده می‌شود. این گیاه بومی غرب آسیا از شرق مدیترانه تا شمال هند است. «Syrian Rue» نام عمومی *P. harmala* است و در ایران به طور سنتی با نام‌های «اسفندا»، «اسپند» و «هارمال» شناخته می‌گردد (۱۸-۲۰). تجزیه و تحلیل فیتوشیمیایی *P. harmala* وجود آلkalوئیدها، اسیدهای چرب، استروئیدها، فلاونوئیدها، آنتراکینون‌ها، اسیدهای آمینه و پلی‌ساقاریدها را در دانه‌ها و سایر قسمت‌های گیاه نشان داده است (۲۱، ۲۲). دانه‌های اسپند حاوی ۲/۵ تا ۴ درصد مخلوط آلkalوئیدهای هارمالا است (۲۳). هارمالین و هارمین مهم‌ترین آلkalوئیدهای موجود در *P. harmala* هستند که آثار مفیدی دارند. هارمالین و هارمین آلkalوئیدهای سه حلقه‌ای بتاکربولین هستند که از دانه‌های *P. harmala* جدا شده‌اند و چندین اثر دارویی مانند آثار

مقدمه

سرطان کولورکتال (CRC) سومین سرطان بدخیم و دومین علت مرگ ناشی از سرطان در سراسر جهان است (۱، ۲). روش‌های درمانی برای CRC شامل حذف عفونت‌های زمینه‌ای، جراحی، شیمی‌درمانی، پرتودرمانی و درمان هدفمند است. در حال حاضر، شیمی‌درمانی مبتنی بر اگرالی‌پلاتین در CRC پیشرفته موضعی یا متأسیاتیک بسیار مؤثر است (۳-۵). اگرالی‌پلاتین یک داروی شیمی‌درمانی متداول مبتنی بر پلاتین است که نقش مهمی در درمان کولورکتال ایفا می‌کند (۶). سازوکارهای مقاومت دارویی سلول‌های تومور عملتاً به افزایش اثر پمب دارو، سمزدایی دارو، تغییرات در مسیر مرتبط با آپوپتوز و تغییرات در توانایی ترمیم DNA مربوط می‌شود (۷). مشاهده گردیده است که مهار کننده‌های آپوپتوز در مقاومت به اگرالی‌پلاتین مؤثر هستند. در سلول‌های مقاوم به اگرالی‌پلاتین سرطان کولورکتال میزان بالایی از زنده‌مانی دیده شده است (۸). متأسفانه مقاومت دارویی می‌تواند در طول درمان برای سرطان کولورکتال یا سایر بدخیمی‌ها ظاهر گردد که باعث کاهش اثربخشی داروهای می‌شود (۹). علاوه بر این، این درمان‌ها معایب خاصی دارند؛ مانند غیراختصاصی و سیتوتوکسیک بودن برای سلول‌های طبیعی که به عوارض ثانویه منجر می‌گردد (۱۰)؛ از این‌رو، جای تعجب نیست که محققان به دنبال کشف داروهای ضدسرطان جدید از منابع طبیعی با اثر قوی‌تر و عوارض جانبی کمتر باشند. بر اساس موفقیت‌های عده گذشته، گیاهان دارویی منبع امیدوار کننده‌ای برای توسعه ترکیبات شیمیایی جدید با فعالیت‌های ضدسرطانی بالقوه در نظر گرفته می‌شوند (۱۱). بسیاری از ترکیبات فیتوشیمیایی‌ها از داروهای گیاهی به دست می‌آیند که به طور منظم با کنترل مسیرهای سیگنالینگ‌های مولکولی عمل می‌کنند که در توسعه سرطان دخیل هستند. ترکیبات فیتوشیمیایی پتانسیل ضدسرطانی خود را از طریق چندین سازوکار اعمال می‌کنند؛ از جمله: القای توقف چرخه سلولی و تحریک آپوپتوز، عمل به عنوان عوامل ضدمتیوزی و ضدمیکروتوبولی که به کاهش سنتر DNA منجر می‌گردد، افزایش فعالیت ماکروفازها و مهار سلول‌های سرطانی، مهار

می‌کند (۳۵). خانواده Bcl-2 حاوی تعداد بسیاری پروتئین از جمله پروتئین‌های پروآپوپتوز و آنتی‌آپوپتوز است. این مولکول‌ها نقش مهمی در فرایند آپوپتوز دارند. برخی از اعضای این خانواده باعث القای آپوپتوز می‌شوند، درحالی که برخی دیگر از آپوپتوز جلوگیری می‌کنند (۳۶). یکی از پروتئین‌های این خانواده که نقش مهمی در تنظیم آپوپتوز دارد، پروتئین *BAX* است که باعث القای آپوپتوز می‌گردد (۳۷). عملکرد *BAX* از طریق مجموعه‌ای از تغییرات از جمله تغییرات ساختاری (از حالت غیرفعال به فعال)، انتقال (از سیتوزول به میتوکندری) و تغییرات وضعیت تجمع (از مونومر به دایمر و چندتایی) به شدت تنظیم می‌شود. مطالعات نشان داده‌اند که پروتئین *BAX* از طریق کاهش غشای خارجی میتوکندری باعث آزادسازی عوامل آپوپتوزی از جمله سیتوکروم c و Smac/DIABLO از فضای بین غشایی به سیتوزول می‌گردد. سیتوکروم c به همراه فاکتور فعال کننده dATP، (Apaf-1) ۹ و پروکاسپاز-۹ یک کمپلکس به نام «آپوپتوزوم» را تشکیل می‌دهد که کاسپاز ۹ را فعال می‌کند و به دنبال آن، سایر کاسپازهای اجرایی را فعال می‌سازد و درنهایت، به مرگ سلول منجر می‌شود (۳۸).

عصاره‌گیری از گیاهان دارویی به روش‌های مختلف و با استفاده از حلال‌های مختلف صورت می‌گیرد. مشخص است که با توجه به روش و حلال استفاده شده، عصاره‌های تولیدشده خواص متفاوتی را از خود نشان می‌دهند. حلال‌هایی که معمولاً برای استخراج عصاره استفاده می‌گردنند، شامل آب و حلال‌های آلی هستند (۳۹). روش‌های استخراج مختلفی برای جدا کردن ترکیبات ضدسرطانی موجود در گیاه *P. harmala* وجود دارد. ترکیبات آلالکالوئیدی یکی از مهم‌ترین ترکیبات ضدسرطانی در دانه‌های گیاه *P. harmala* هستند. در مطالعه پیشین سلیمی‌زاده و همکاران، ماده مؤثر آلالکالوئیدی (هارمین و هارمالین) با روش استخراج اسیدی/ بازی جدا گردید و اثر ضدسرطانی آن بررسی شد (۴۰). هدف از مطالعه حاضر بررسی اثر عصاره آبی بر سلول‌های سرطان کولورکتال مقاوم به اگزالی‌پلاتین است و در ادامه، میزان بیان ژن *BAX* پیش و

ضدیمکروبی، ضدقارچی، آنتی‌اکسیدانی و ضدتوموری و همچنین القای آپوپتوز دارند (۲۴-۲۷). علاوه بر این، *P. harmala* آثار ضدرگزایی و ضدمتاستازی دارد. عصاره هیدروالکلی دانه *P. harmala* رگزایی را در غلظت‌های بالاتر از ۱۰۰ میکروگرم در میلی‌لیتر مهار می‌کند. اثر ضدرگزایی هارمین نیز بر تومور تأییدشده است (۲۸، ۲۹)؛ همچنین مشخص گردیده است که عصاره هیدروالکلی دانه *P. harmala* فعالیت ضد تکثیر بر سلول‌های اندوتیال بند ناف انسان، به صورت وابسته به دوز و زمان دارد (۲۸). تحقیقاتی که روی عصاره گیاه *P. harmala* با روش‌های HPLC و GC انجام شده است، ارتباط میان ترکیبات فیتوشیمیایی موجود در عصاره و فعالیت‌های بیولوژیکی مختلف مربوط به آن‌ها را نشان داده است. هارمین و هارمالین آلالکالوئیدهای بتاکریولینی هستند که از دانه‌های *P. harmala* جدا شده‌اند و آثار سیتوکسیک آن‌ها علیه رده‌های سلولی سرطانی مختلف از جمله سلول‌های سرطان سینه، پروستات و روده بزرگ نشان داده شده است. آن‌ها باعث توقف چرخه سلولی و آپوپتوز در سلول‌های سرطانی می‌شوند؛ همچنین هارمین و هارمالین با از بین بردن رادیکال‌های آزاد و کاهش استرس اکسیداتیو، فعالیت آنتی‌اکسیدانی از خود نشان می‌دهند (۳۰-۳۲).

آپوپتوز نوعی مرگ سلولی برنامه‌ریزی شده است که آن را به یک هدف سیار امیدوار کننده برای درمان‌های ضدسرطان تبدیل می‌کند. طیف وسیعی از عوامل از جمله بیان یش از حد پروتئین‌های ضدآپوپتوز و بیان ناکافی پروتئین‌های پروآپوپتوز، به طور معمول مسیر آپوپتوز را در سرطان مهار می‌کنند. درمان‌هایی که آپوپتوز را هدف قرار می‌دهند، مولکول‌هایی را فعال می‌کنند که آپوپتوز را افزایش می‌دهند و فعالیت مولکول‌های ضدآپوپتوز را مهار می‌کنند (۳۳). تهرانی و همکاران نشان دادند که عصاره *P. harmala* به طور چشمگیری سرعت رشد و زندگانی سلولی دو رده سلولی سرطان پستان (Mcf-7 و MDA-MB-231) را کاهش می‌دهد (۳۴)؛ همچنین در مطالعه دیگری، شبانی و همکاران دریافتند که عصاره *P. harmala* با فعال کردن هر دو مسیر آپوپتوز بیرونی و درونی، از تکثیر رده سلولی سرطان پستان جلوگیری

به طور کمی بررسی شود. در این مطالعه، در هر چاهک از پلیت ۹۶ چاهکی به تعداد ۳۲۰۰ سلول (HCT116 مقاوم به اگرالی‌پلاتین) کشت داده شد. سلول‌ها در دمای ۳۷ درجه سانتی‌گراد به مدت ۲۴ ساعت انکوبه گردیدند؛ سپس سلول‌ها با محیط ۱۰۰ میکرولیتری حاوی غلظت‌های 10^{-5} – 10^{-4} میلی‌گرم بر میلی‌لیتر عصاره آبی *P. harmala* به مدت ۲۴ و ۴۸ ساعت انکوبه شدند. پس از ۲۴ و ۴۸ ساعت، ۲۰ میکرولیتر محلول MTT (با غلظت ۵ میلی‌گرم بر میلی‌لیتر) به هر چاهک اضافه گردید و به مدت ۴ ساعت در ۳۷ درجه سانتی‌گراد انکوبه شد؛ سپس حدود ۱۰۰ میکرولیتر DMSO (به منظور حل شدن بلورهای نامحلول فورمازان) به هر چاهک اضافه گردید. پس از پیپتاز (آرام)، به مدت ۲۰ دقیقه درون انکوباتور ۳۷ درجه سانتی‌گراد قرار گرفت و سپس جذب رنگ MTT توسط الیزا ریدر خوانده شد و میزان IC₅₀ محاسبه گردید.

استخراج RNA: ابتدا استخراج RNA از سلول‌های کنترل و تیمارشده (با غلظت IC₅₀ و به مدت ۴۸ ساعت) بر اساس دستورالعمل کیت (Roche Applied Sciences) انجام شد. کیفیت و کمیت RNA استخراج شده با استفاده از ژل آگارز و دستگاه نانودرایپ بررسی گردید.

سترن cDNA: سترن cDNA مطابق با کیت Norgen Biotek Crop (شامل مخلوطی از بافر، نوکلئوتید و پرایمرهای سترن cDNA از رونوشت‌های total RNA) و مخلوط آنزیم TruScriptTM (شامل آنزیم رونوشت بردار معکوس M-MuLV) بر اساس دستورالعمل کیت انجام شد. کیفیت cDNAهای سترن شده توسط پرایمر بتا-۲-میکروگلوبولین انسانی (B2M) به عنوان یک پرایمر خانه‌دار که در کیت سترن cDNA وجود داشت، بررسی گردیدند.

Real-Time PCR: بررسی بیان ژن‌ها در نمونه‌های PCR (با غلظت IC₅₀ و به مدت ۴۸ ساعت) با تست PCR توسط کیت سایبرگرین انجام شد. در کنار نمونه‌های کنترل و تیمار، چند نمونه به عنوان کنترل منفی (NTC) برای بررسی احتمال وجود آلودگی نیز اختصاص یافت. در این مطالعه، از ژن GAPDH به عنوان کنترل داخلی استفاده گردید.

پس از تیمار بررسی گردید؛ همچنین در این مطالعه، اثر سیتو توکسیک عصاره آبی با ماده مؤثر آلکالائیدی روی سلول‌های سرطانی کولورکتال مقایسه شد.

مواد و روش‌ها

استخراج عصاره از دانه‌های *P. harmala*: دانه‌های *P. harmala* (از کوه‌های شهرکرد در استان چهارمحال بختیاری) جمع‌آوری گردید. مقدار ۵۰ گرم پودر دانه خشک شده *P. harmala* به مدت ۴۰ دقیقه در ۵۰۰ میلی‌لیتر آب مقطر جوشانده شد. محلول با کاغذ صافی (واتمن شماره ۱) فیلتر گردید؛ سپس مایع صاف شده در بن‌ماری ۶۰–۷۰ درجه سانتی‌گراد قرار داده شد تا تغليظ شود؛ سپس عصاره به دست آمده در پلیت‌های شیشه‌ای بزرگ (برای خشک شدن) ریخته شد و سپس در انکوباتور قرار گرفت. در انتهای عصاره خشک به دست آمده در فریزر ۲۰–درجه سانتی‌گراد نگهداری گردید.

کشت سلولی و آزمون MTT: رده سلولی استفاده شده در این تحقیق HCT116 مقاوم به اگرالی‌پلاتین است. سلول‌های HCT-116 سلول‌های آدنوکارسینومای کولورکتال انسانی هستند که یک جهش در کدون ۱۳ پروتونکوژن Ras دارند. سلول‌های HCT116 مقاوم به اگرالی‌پلاتین در DMEM ۱۰ درصد $\mu\text{g/mL}$ ۱۰۰ U/mL پنی‌سیلین در دمای ۳۷ درجه سانتی‌گراد با ۵ درصد CO₂ کشت داده شدند.

در ادامه، آزمون سمیت سلولی (3-(4,5-Dimethylthiazol-2-yl)-2,5-Diphenyltetrazolium Bromide) انجام گردید. نمک MTT محلول در آب و زردنگ است و توسط دهیدرژناز میتوکندریایی سلول‌های زنده به فورمازان بنفسرنگ غیر محلول در آب تبدیل می‌شود. میزان رنگ بنفسن تویلیدشده متناسب با تعداد سلول‌های زنده است. این احیای سلولی با دخالت کوفاکتور نوکلئوتید پیریدین NADH و NADPH و دهیدروژنازهای میتوکندریایی صورت می‌گیرد. کریستال‌های فورمازانی که تشکیل می‌گردند، قابل حل شدن هستند و جذب محلول رنگی حاصل می‌تواند با استفاده از دستگاه ELISA reader

محاسبه گردید. در جدول شماره ۱ توالی پرایمرهای طراحی شده نشان داده شده است (۴۰).

سطح بیان ژن مدنظر ابتدا با ژن کنترل داخلی (ژن *GAPDH*) نرمال شد و سپس میزان نسبت بیان ژن مدنظر در گروههای تیماری نسبت به گروه کنترل با استفاده از فرمول $(\Delta\Delta Ct)^{-1/2}$

جدول شماره ۱. مشخصات پرایمرهای استفاده شده برای انجام واکنش PCR

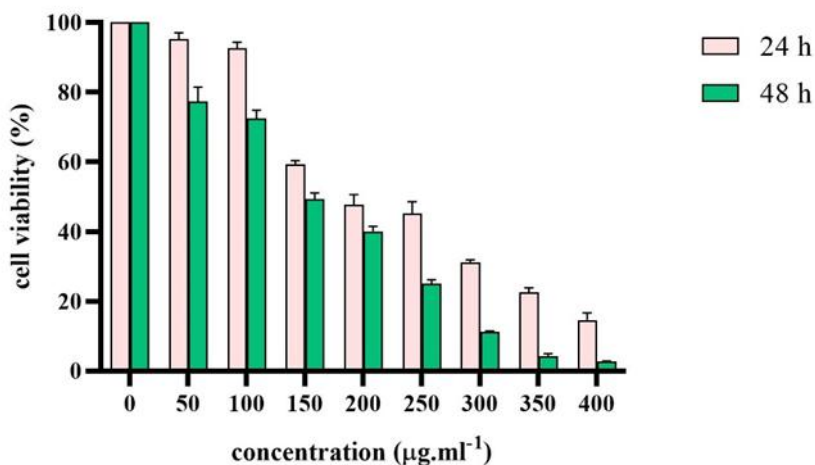
پرایمر	NCBI Reference Sequence	توالی پرایمر	Tm (°C)	اندازه طول محصول (جفت باز)
<i>GAPDH</i>	NM_002046.7	Forward: CAGGGGGGAGCCAAAAGGGT Reverse: TGGGTGGCAGTGATGGCATGG	۵۸	۲۱۸
<i>BAX</i>	NM_001291428.2	Forward: TGCCTCAGGATGCGTCCACCAA Reverse: CCCAGTTGAAGTTGCCGTCAG	۵۹	۱۷۴

مرده افزایش می‌یابد. مقدار IC_{50} به ترتیب $0.2 \text{ میلی گرم} / 0.014 \text{ میلی گرم}$ بر میلی لیتر و $0.02 \text{ میلی گرم} / 0.048 \text{ میلی گرم}$ بر میلی لیتر پس از ۲۴ و ۴۸ ساعت قرار گرفتن در معرض عصاره آبی *P. harmala* تعیین شد؛ همچنین در رده سلولی HCT116 مقاوم به آگرالی‌پلاتین، سمیت سلولی عصاره *P. harmala* به طور چشمگیری از ۲۴ به ۴۸ ساعت افزایش یافت (شکل شماره ۱). در ادامه، تجزیه و تحلیل‌های آماری با نرم‌افزار Graph Pad Prism برای مشاهده شد که میان سمیت عصاره آبی بر روی سلول‌های مشاهده شد که میان سمیت عصاره آبی وجود ارتباط معنی‌دار در نتایج انجام گردید که مقاوم و افزایش غلظت عصاره و همچنین افزایش مدت زمان تیمار ارتباط معنی‌داری وجود دارد ($P < 0.001$)؛ همچنین میانگین $\pm SD$ را نشان می‌دهند.

تجزیه و تحلیل داده‌های MTT با استفاده از نرم‌افزار Graph Pad Prism vol.8 و تجزیه و تحلیل آماری داده‌ها با استفاده از آزمون آنالیز واریانس یک‌طرفه انجام گردید. تجزیه و تحلیل داده‌های Real-Time PCR با استفاده از نرم‌افزارهای REST 2009، GraphPad Prism vol.8 و روش t-test بین نمونه‌های کنترل و تیمار انجام شد. داده‌های تجزیه و تحلیل داده‌های MTT با استفاده از نرم‌افزار Graph Pad Prism vol.8 و REST 2009، آزمون آنالیز واریانس یک‌طرفه انجام گردید و $P < 0.05$ کمتر از معنی‌دار در نظر گرفته شد.

یافته‌های پژوهش

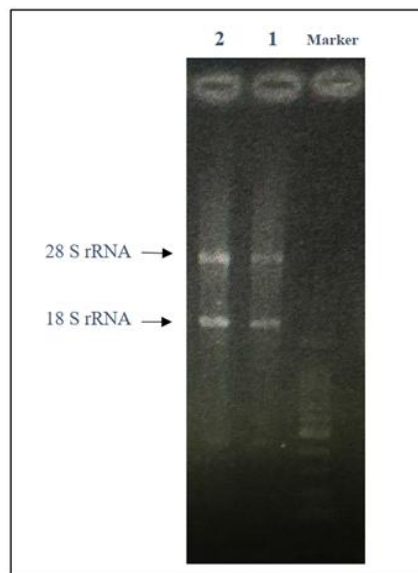
آزمون MTT: در این مطالعه مشاهده گردید، با افزایش غلظت عصاره آبی *P. harmala*، تعداد سلول‌های



شکل شماره ۱. نمودار آزمون MTT رده سلولی HCT116 مقاوم به اگزالیپلاتین در سلول‌های تیمارشده با عصاره آبی در زمان‌های ۲۴ و ۴۸ ساعت

۱/۸ و ۲ به دست آمد که نشان‌دهنده درجه بالای خلوص RNA و نیز آلودگی نشدن آن با پروتئین و ترکیبات فلی (گوانیدین تیوسیونات) است. نتایج این مرحله حاکی از آن بود که RNA استخراج شده می‌تواند با اطمینان بالا در مراحل بعدی تحقیق استفاده شود.

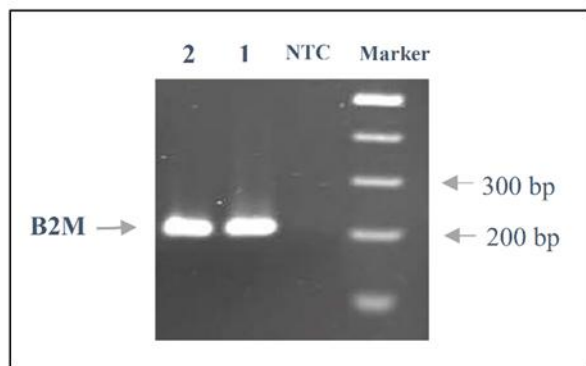
استخراج RNA: پس از استخراج RNA، کیفیت و کمیت RNA استخراج شده بررسی گردید. در بررسی ژل، وجود دو باند ۱۸S و ۲۸S RNA ریبوزومی نشان‌دهنده تجزیه نشدن RNA و سلامت RNA استخراجی است (شکل شماره ۲). در بررسی اسپکتروفوتومتری، نسبت A280/A260 بین



شکل شماره ۲. RNA استخراج شده روی ژل آگارز. ۱. نمونه‌های کنترل (HCT116 مقاوم به اگزالیپلاتین) و ۲. تیمار (HCT116 مقاوم به اگزالیپلاتین تیمارشده با عصاره آبی)

سترنشده از RNA استخراجی نمونه‌های مختلف توسط پرایمر B2M است و باندها مربوط به محصول PCR ژن B2M (230bp) است.

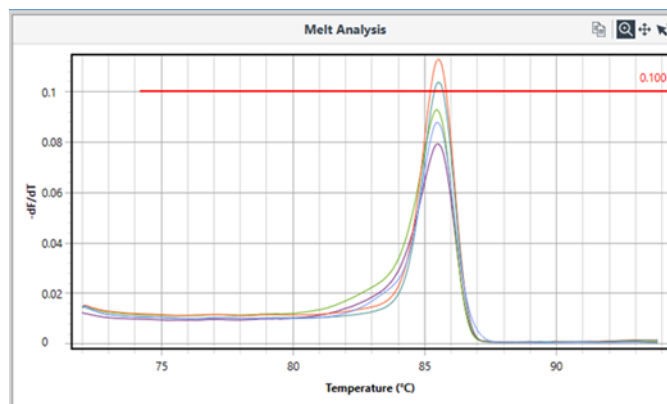
سنتر cDNA: مراحل سنتر cDNA مطابق دستورالعمل کیت انجام و صحت آن توسط پرایمرهای ژن خانه‌دار بتا-۲-میکروگلوبولین (B2M) با استفاده از PCR تأیید گردید. شکل شماره ۳ مربوط به بررسی cDNA های



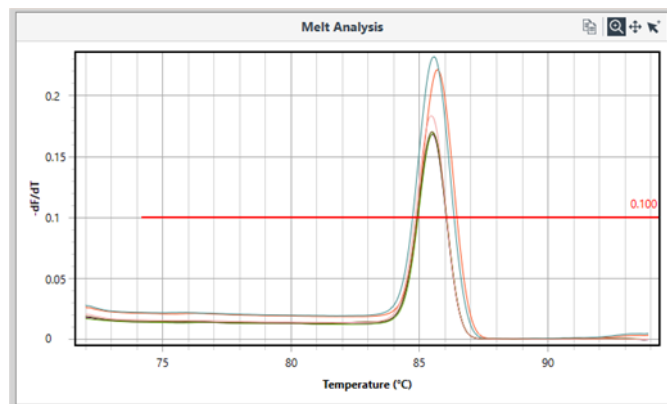
شکل شماره ۳. محصول PCR ژن *B2M* روی ژل آگارز با استفاده از cDNAهای سنتر شده. NTC نمونه کنترل منفی؛ ۱. نمونه کنترل مقاوم به اگزالیپلاتین (HCT116) و ۲. نمونه تیمار (BAX مقاوم به اگزالیپلاتین تیمارشده با عصاره آبی)

نتایج نسبت بیان ژن *BAX* در سلول‌های تیمارشده نسبت به کنترل (fold change) حدود ۴/۶ افزایش بیان را نشان می‌دهد. در این مطالعه، میزان fold change افزایش بیان *BAX* با نرم‌افزار REST محاسبه شد. برای تجزیه و تحلیل آماری، آزمون t-test میان نمونه‌های کنترل و تیمار انجام گردید و مشاهده شد که افزایش بیان ژن *BAX* معنادار است ($P < 0.001$)؛ همچنین میانگین \pm SD را نشان می‌دهد.

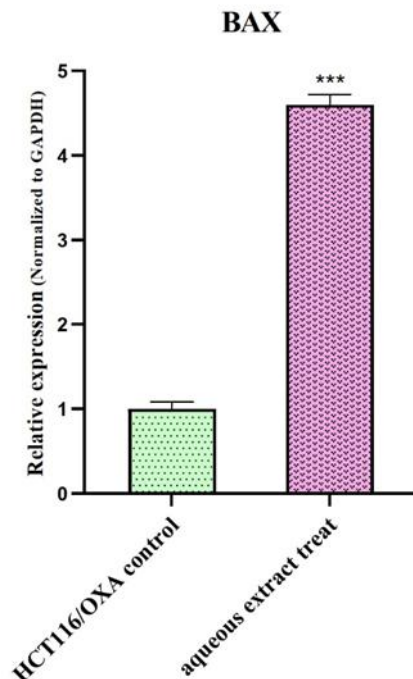
Real-time PCR: ابتدا شرایط PCR برای ژن *BAX* و *GAPDH* بهینه‌سازی شد، به صورتی که بررسی منحنی‌های ذوب حکایت از تکثیرنامایی قطعه‌ای با یک منحنی ذوب یکتا بدون پرایمر دایمر داشت که نشان‌دهنده تکثیر اختصاصی این ژن‌ها است (شکل‌های شماره ۴ و ۵). تغییر در بیان ژن آپوپتوزی *BAX* در سلول‌های سرطانی کلون مقاوم به اگزالیپلاتین تیمارشده با عصاره آبی *P. harmala* پس از ۴۸ ساعت بررسی گردید (شکل شماره ۶).



شکل شماره ۴. منحنی ذوب ژن خانه‌دار *GAPDH* برای نمونه‌های کنترل و تیمار



شکل شماره ۵. منحنی ذوب ژن *BAX* برای نمونه‌های کنترل و تیمار



شکل شماره ۶. مقایسه میزان بیان ژن *BAX* در سلول‌های کنترل و تیمار (عصاره آبی) پس از ۴۸ ساعت

بالاتری در زمان ۲۴ و ۴۸ ساعت (۰/۱۴ و ۰/۰۲ میلی گرم بر میلی لیتر) نسبت به اثر ماده مؤثر آلالکالوئیدی استخراجی مشاهده گردید که این به علت آن است که بیشترین اثر ضدسرطانی دانه‌های گیاه *P. harmala* به سبب حضور آلالکالوئیدهای آن بهویژه هارمین و هارمالین است. در مطالعه پیشین، آلالکالوئیدهای هارمین و هارمالین جداسازی شده بودند و به همین علت، در غلظت پایین تری روی سلول‌های سرطانی اثر کشنده‌گی داشتند؛ اما در عصاره آبی همه تر کیات گیاه استخراج شد و به همین علت، IC_{50} بالاتری مشاهده گردید. یکی از فوایدی که استفاده از عصاره آبی نسبت به ماده مؤثر آلالکالوئیدی استخراجی دارد، این است که استخراج آن آسان‌تر است و در زمان کمتر و با هزینه کمتری استخراج می‌شود؛ همچنین در روش استخراج آبی، تنها از آب به عنوان حلال استفاده می‌گردد که غیررسمی است و برای استفاده روی سلول ایمن‌تر است. در مطالعه حاضر، اثر عصاره آبی اسپند بر سلول‌های کولورکتال مقاوم به آگرالی‌پلاتین بررسی شد و مشاهده گردید که روی سلول‌های مقاوم اثر سیتوتوکسیک دارد. در مطالعه ما و همکاران مشاهده شد که رده‌های سلولی که بیش از حد BCRP را بیان می‌کنند، تقریباً در برابر عوامل سیتوتوکسیک مانند میتوکسانترون و کامپتوتسین (مهار کننده

بحث و نتیجه‌گیری

مطالعه حاضر با هدف بررسی اثر عصاره آبی بر سلول‌های سرطان کولورکتال مقاوم به آگرالی‌پلاتین انجام شد. در مطالعه حاضر مشاهده گردید که عصاره آبی اسپند به صورت وابسته به دوز و زمان، اثر سیتوتوکسیک بر سلول‌های HCT116 مقاوم به آگرالی‌پلاتین دارد. در مطالعه‌ای که رضایی و همکاران انجام دادند، مشاهده شد که عصاره آبی اسپند به صورت وابسته به دوز و زمان، اثر سیتوتوکسیک بر سلول‌های لوسمی دارد (۴۱). در مطالعه پیشین گروه حاضر، اثر ماده مؤثر آلالکالوئیدی مستخرج از دانه‌های *P. harmala* بر سلول‌های سرطانی HCT116 در زمان ۲۴ و ۴۸ ساعت در غلظت‌های مختلف بررسی گردید و مشاهده شد، روی سلول‌های سرطانی HCT116 اثر سایتوتوکسیک معناداری دارد و میزان IC_{50} در زمان ۲۴ ساعت ۰/۰۳ و در ۴۸ ساعت ۰/۰۲ میلی گرم بر میلی لیتر و همچنین اثر سایتوتوکسیک آن وابسته به دوز و زمان بود. در مطالعه حاضر، همانند مطالعه پیشین مشاهده شد که عصاره آبی اسپند به صورت وابسته به دوز و زمان، اثر سیتوتوکسیک بر سلول‌های HCT116 مقاوم به آگرالی‌پلاتین دارد (۴۰). در مطالعه حاضر، میزان IC_{50}

درنتیجه، آپوپتوز را در سلول‌های سرطانی آغاز کنند. فن و همکاران دریافتند که بتاکربولین آلکالوئیدهای *P. harmala* بیان-2 Bcl-2 را کاهش می‌دهد، درحالی که برایان *BAX* در رده سلولی سرطان معده SGC-7901 می‌افزاید؛ همچنین آنان مشاهده کردند که بتاکربولین آلکالوئیدها می‌توانند بیان mRNA در سلول‌های SGC-7901 و بافت‌های تومور تشکیل شده توسط سلول‌های SGC-7901 کاهش دهند. آن‌ها ممکن است هدف بتاکربولین در مسیر FAK/PI3K/AKT/mTOR باشند (۴۶). هاما و همکاران اثر هارمین را بر رده سلولی ملانوما B16f-10 مطالعه کردند و گزارش دادند که هارمین با افزایش بیان *ژن BAX* و کاهش Bcl-2، بر مسیرهای درونی و بیرونی آپوپتوز تأثیر می‌گذارد (۴۷). در مطالعه دیگری، دینگ و همکاران گزارش دادند که هارمین به کاهش سطح Bcl-2 منجر شد، درحالی که به طور همزمان بیان *BAX* را افزایش داد. آنان پیشنهاد می‌کنند که هارمین آپوپتوز را افزایش می‌دهد، از تکثیر رده‌های سلولی سرطان سینه جلوگیری می‌کند و رشد تومور را در داخل بدن مهار می‌نماید (۴۸)؛ همچنین *BAX*، به عنوان یک عامل پیش آپوپوتیک، بر پاسخ سلول‌های سرطانی به عوامل شیمی‌درمانی تأثیر می‌گذارد. تحقیقات جدید نشان می‌دهد که افزایش سطح *BAX* حساسیت سلول‌های سرطانی سر و معده انسان را به داروهای مختلف شیمی‌درمانی افزایش می‌دهد (۵۰، ۴۹). در مطالعه پیشین گروه حاضر، بیان *ژن BAX* پس از تیمار با ماده مؤثر آلکالوئیدی مستخرج از دانه‌های *P. harmala* روی سلول‌های سرطانی HCT116 بررسی و مشاهده شد که این ماده با افزایش بیان *BAX*، رشد سلول‌های سرطانی کولورکتال انسانی را مهار می‌کند. علاوه بر این، سلول‌های HCT116 تحت تیمار با ماده مؤثر آلکالوئیدی *P. harmala*، کاهش بیان پروتئین ضد آپوپتوز-2 Bcl-2 را نشان دادند، درحالی که برایان پروتئین‌های پروآپوپتوز *BAX* و p53 افزودند. با توجه به این نتایج، ماده مؤثر آلکالوئیدی *P. harmala* افزودند. با توجه به این نتایج، ماده مؤثر آلکالوئیدی *P. harmala* فعالیت p53 را فعال می‌کند و p53 مستقیماً باعث فعال شدن *BAX* می‌شود و کمپلکس‌های مهاری با پروتئین

DNA توپوایزو مراز I مقاوم هستند. پروتئین BCRP (عضو خانواده ناقل‌های ABC) از سلول‌ها، بافت‌ها و ارگان‌های طبیعی در برابر سیتو-کسیسیتی محافظت می‌کند. BCRP در برخی از تومورها نیز بهشت بیان می‌شود. این پروتئین داروهای ضدسرطان را از سلول‌ها پمپاژ می‌کند و درنتیجه، BCRP موجب مقاومت چنددارویی (MDR) در سلول‌های توموری می‌گردد. برای بازگرداندن حساسیت به مقاومت القا شده توسط BCRP، به عوامل معکوس کننده نیاز است. در این مطالعه مشاهده شد که درمان هم‌زمان سلول‌های سرطان سینه (با بیان پیش‌از‌حد BCRP) با عوامل سیتو-کسیک و هارمین به طور چشمگیری IC₅₀ را برای میتوکسانترون و کامپتوسین کاهش داد؛ بنابراین، هارمین می‌تواند به طور خاص با BCRP تعامل داشته باشد، جریان دارو وابسته به BCRP را مهار کند و مقاومت دارویی را معکوس نماید و موجب افزایش سیتو-کسیسیتی داروهای (MDA-MB-231) ضدسرطان در سلول‌های سرطانی سینه شود (۴۲). در مطالعه وو و همکاران مشاهده گردید که هارمین مسیر AKT/mTOR را سرکوب می‌کند و هارمین به همراه جمیستاین نیز به طور چشمگیری مسیر سیگنالینگ AKT/mTOR را سرکوب می‌نماید. مسیر AKT/mTOR در سازوکارهای مقاومت به جمیستاین در سلول‌های سرطانی پانکراس نقش دارد؛ بنابراین، هارمین احتمالاً فعالیت ضدسرطانی جمیستاین را از طریق سرکوب مسیر AKT/mTOR افزایش می‌دهد (۴۳). مسیر آپوپتوز ذاتی توسط خانواده Bcl-2 تنظیم می‌گردد که شامل پروتئین‌های پیش آپوپتوزی و ضد آپوپتوزی است. نبود پروتئین‌های پیش آپوپتوزی یا افزایش بیان پروتئین‌های ضد آپوپتوزی موجب افزایش مقاومت به اگزالی‌پلاتین می‌شود (۴۵، ۴۴). در مطالعه حاضر، میزان بیان *ژن BAX* پس از تیمار عصاره آبی روی سلول‌های HCT116 مقاوم به اگزالی‌پلاتین بررسی و مشاهده گردید که میزان بیان آن پس از تیمار افزایش یافت. افزایش بیان *ژن BAX* و کاهش بیان Bcl-2 به القای مرگ سلولی در سلول‌های سرطانی منجر می‌شود. داروهای گیاهی مختلف به طور بالقوه می‌توانند بیان *BAX* و Bcl-2 را تغییر دهند و

HCT116 مقاوم به اگرالی‌پلاتین کمال تشكیر و قدردانی را داریم.

تعارض منافع

نویسنده‌گان اعلام می‌کنند که هیچ تعارض منافعی وجود ندارد.

کد اخلاق

با توجه به استفاده نکردن از نمونه انسانی-حیوانی، نیاز به تهیه کد اخلاق نبود.

حمایت مالی

این مطالعه به طور کامل توسط پژوهشگاه ملی مهندسی ژئوتک و زیست‌فناوری (NIGEB) حمایت شده است.

مشارکت نویسنده‌گان

تحلیل داده‌ها، نگارش و تفسیر داده‌های پژوهش: زهرا سلیمی‌زاده
طراحی پژوهش، ویرایش: ستار طهماسبی انفرادی،
فروزنده محجویی، طیبه مجیدی زاده، زهرا سلیمی‌زاده،
نظرات: ستار طهماسبی انفرادی، فروزنده محجویی،
بحث آزمایشگاهی: راضیه جلال، زهرا سلیمی‌زاده،
مدیریت پژوهش: فروزنده محجویی.

Bcl2 تشکیل می‌دهد. این برهمنشها درنهایت به نفوذپذیری میتوکنند و آزاد شدن سیتوکروم C و سرانجام به آپوپتوز منجر می‌شود؛ همچنین مشاهده گردید که درصد آپوپتوز سلول‌ها در میان سلول‌های HCT116 تیمارشده با ماده مؤثر آلکالوئیدی *P. harmala* در زمان ۲۴ و ۴۸ ساعت بیشتر از سلول‌های کنترل بود که این نشان می‌دهد، احتمالاً اثر سیتوکسیک ماده مؤثر آلکالوئیدی *P. harmala* از طریق فعال کردن سازوکار آپوپتوز است (۴۰). در مطالعات پیشین به مسیرهای متعددی برای مقاومت سلول‌ها به اگرالی‌پلاتین اشاره شده است. مسیر آپوپتوز ذاتی توسط خانواده-2 Bcl-2 تنظیم می‌گردد که شامل پروتئین‌های پیش‌آپوپتوزی و ضد‌آپوپتوزی است. نبود پروتئین‌های ضد‌آپوپتوزی یا افزایش بیان پروتئین‌های ضد‌آپوپتوزی موجب افزایش مقاومت به اگرالی‌پلاتین می‌شود (۴۵، ۴۶). همان‌طور که اشاره شد، احتمالاً یکی از مسیرهایی که عصارة آبی باعث افزایش آپوپتوز در سلول‌های HCT116 مقاوم به اگرالی‌پلاتین می‌شود، می‌تواند از طریق افزایش بیان ژن *BAX* باشد. نتایج مطالعه حاضر نشان داد که عصارة آبی *P. harmala* بر سلول‌های سرطان کولورکتال مقاوم به اگرالی‌پلاتین اثر سیتوکسیک دارد. در ادامه، برای *P. harmala* روی سلول‌های طیعی و نمونه‌های حیوانی با سرطان کولورکتال پیشنهاد می‌گردد؛ همچنین تحقیقات بیشتر برای جداسازی و شناسایی ترکیبات عصارة آبی *P. harmala* پیشنهاد می‌شود که واسطه آثار سیتوکسیک هستند؛ همچنین بررسی سازوکار دقیق آثار ضدسرطان این گیاه به ویژه در مقایسه با داروهای شیمی درمانی موجود و علاوه بر آن، بررسی تأثیر هم‌افزایی عصارة آبی *P. harmala* با داروهای شیمی درمانی می‌تواند مفید باشد. پیشنهاد می‌گردد که با انجام مطالعات بیشتر بتوان از عصارة آبی دانه گیاه *P. harmala* در کنار داروهای رایج شیمی درمانی برای درمان سرطان کولورکتال مقاوم به دارو استفاده کرد.

سپاس‌گزاری

از خانم دکتر چراغی برای اهدای رده سلولی

References

- Avella P, Vaschetti R, Cappuccio M, Gambale F, Rafanelli F, Brunese M, et al. The role of liver surgery in simultaneous synchronous colorectal liver metastases and colorectal cancer resections: a literature review of 1730 patients underwent open and minimally invasive surgery. *Minerva Surg.* 2022;77:582-90. doi: 10.23736/S2724-5691.22.09716-7.
- Sung H, Ferlay J, Siegel RL, Laversanne M, Soerjomataram I, Jemal A, et al. Global cancer statistics 2020: GLOBOCAN estimates of incidence and mortality worldwide for 36 cancers in 185 countries. *CA Cancer J Clin.* 2021;71:209-49. doi: 10.3322/caac.21660.
- Goldberg RM, Sargent DJ, Morton RF, Fuchs CS, Ramanathan RK, Williamson SK, et al. A randomized controlled trial of fluorouracil plus leucovorin, irinotecan, and oxaliplatin combinations in patients with previously untreated metastatic colorectal cancer. *J Clin Oncol.* 2004;22:23-30. doi: 10.1200/JCO.2004.09.046.
- Rödel C, Graeven U, Fietkau R, Hohenberger W, Hothorn T, Arnold D, et al. Oxaliplatin added to fluorouracil-based preoperative chemoradiotherapy and postoperative chemotherapy of locally advanced rectal cancer (the German CAO/ARO/AIO-04 study): final results of the multicentre, open-label, randomised, phase 3 trial. *Lancet Oncol.* 2015;16:979-89. doi: 10.1016/S1470-2045(15)00159-X.
- Adebayo AS, Agbaje K, Adesina SK, Olajubutu O. Colorectal cancer: disease process, current treatment options, and future perspectives. *Pharmaceutics.* 2023;15:2620. doi: 10.3390/pharmaceutics15112620.
- Yin J, Wang L, Wang Y, Shen H, Wang X, Wu L. Curcumin reverses oxaliplatin resistance in human colorectal cancer via regulation of TGF-β/Smad2/3 signaling pathway. *Onco Targets Ther.* 2019;12:3893. doi: 10.2147/OTT.S199601.
- Han W, Yin H, Ma H, Wang Y, Kong D, Fan Z. Curcumin regulates ERCC1 expression and enhances oxaliplatin sensitivity in resistant colorectal cancer cells through its effects on miR-409-3p. *Evid Based Complement Alternat Med.* 2020;2020. doi: 10.1155/2020/8394574.
- Wen K, Fu Z, Wu X, Feng J, Chen W, Qian J. Oct-4 is required for an antiapoptotic behavior of chemoresistant colorectal cancer cells enriched for cancer stem cells: effects associated with STAT3/Survivin. *Cancer Lett.* 2013;333:56-65. doi: 10.1016/j.canlet.2013.01.009.
- Krishna R, Mayer LD. Multidrug resistance (MDR) in cancer: mechanisms, reversal using modulators of MDR and the role of MDR modulators in influencing the pharmacokinetics of anticancer drugs. *Eur J Pharm Sci.* 2000;11:265-83. doi: 10.1016/s0928-0987(00)00114-7.
- Schuell B, Gruenberger T, Kornek G, Dworan N, Depisch D, Lang F, et al. Side effects during chemotherapy predict tumour response in advanced colorectal cancer. *Br J Cancer.* 2005;93:744-8. doi: 10.1038/sj.bjc.6602783.
- Fridlander M, Kapulnik Y, Koltai H. Plant derived substances with anti-cancer activity: from folklore to practice. *Front Plant Sci.* 2015;6:163161. doi: 10.3389/fpls.2015.00799.
- Choudhari AS, Mandave PC, Deshpande M, Ranjekar P, Prakash O. Phytochemicals in cancer treatment: From preclinical studies to clinical practice. *Front Pharmacol.* 2020;10:1614. doi: 10.3389/fphar.2019.01614.
- Browning DD, Kwon IK, Wang R. cGMP-dependent protein kinases as potential targets for colon cancer prevention and treatment. *Future Med Chem.* 2010;2:65-80. doi: 10.4155/fmc.09.142.
- Vijayalakshmi M, Meganathan S, Surendhar SK, Umamaheswari A, Lakshmana Prabu S. Exploring the Systematic Anticancer Mechanism in Selected Medicinal Plants: A Review. *Oncol Adv.* 2024;2:141-7. doi: 10.14218/OnA.2024.00012.
- Benarba B, Pandiella A. Colorectal cancer and medicinal plants: Principle findings from recent studies. *Biomed Pharmacother.* 2018;107:408-23. doi: 10.1016/j.bioph.2018.08.006.
- Mashreghi M, Niknia S. The effect of *Peganum harmala* and *Teucrium polium* alcoholic extracts on growth of *Escherichia coli* O157. *Jundishapur J Microbiol.* 2012;5:511-5. doi:10.5812/jjm.3665.
- Ababou A, Chouieb M, Bouthiba A, Saidi D, Bouzina MMH, Mederbal K. Spatial pattern analysis of *Peganum harmala* on the salted lower Chelif plain, Algeria. *Turk J Bot.* 2013;37:111-21. doi:10.3906/bot-1202-16.
- Lamchouri F, Zemzami M, Jossang A, Abdellatif A, Israilli ZH, Lyoussi B. Cytotoxicity of alkaloids isolated from *Peganum harmala* seeds. *Pak J Pharm Sci.* 2013;26:699-706.
- Jalali A, Dabaghian F, Zarshenas MM. Alkaloids of *Peganum harmala*: Anticancer biomarkers with promising outcomes. *Curr Pharm Des.* 2021;27:185-96. doi:10.2174/138161286666201125103941.
- Moloudizargari M, Mikaili P, Aghajanshakeri S, Asghari MH, Shayegh J. Pharmacological

- and therapeutic effects of *Peganum harmala* and its main alkaloids. *Pharmacogn Rev.* 2013;7:199. doi: 10.4103/0973-7847.120524.
21. Moussa TA, Almaghrabi OA. Fatty acid constituents of *Peganum harmala* plant using Gas Chromatography–Mass Spectroscopy. *Saudi J Biol Sci.* 2016;23:397-403. doi: 10.1016/j.sjbs.2015.04.013.
 22. Niazi S, Tahmasebi Enferadi S, Ghaderitabar H. Variation of Main Alkaloids and Fatty Acids among Five Natural Populations of *Peganum harmala L.* from Iran. *J Med Plants By-Prod.* 2021;10:45-52. doi:10.22092/jmpb.2020.128202.1151.
 23. Tarkowská D. A fast and reliable UHPLC–MS/MS-based method for screening selected pharmacologically significant natural plant indole alkaloids. *Molecules.* 2020;25:3274. doi: 10.3390/molecules25143274.
 24. Burman MD, Bag S, Ghosal S, Karmakar S, Pramanik G, Chinnadurai RK, et al. Exploring the Structural Importance of the C3=C4 Double Bond in Plant Alkaloids Harmine and Harmaline on Their Binding Interactions with Hemoglobin. *ACS Omega.* 2023;8:37054-64. doi: doi: 10.1021/acsomega.3c04432.
 25. Uddin MJ, Xu S, Crews BC, Aleem AM, Ghebreselasie K, Banerjee S, et al. Harmaline analogs as substrate-selective cyclooxygenase-2 inhibitors. *ACS Med Chem Lett.* 2020;11:1881-5. doi: 10.1021/acsmedchemlett.9b00555.
 26. Yao P, Yao P, Ku X, Yang J. Harmine suppresses the malignant phenotypes and PI3K activity in breast cancer. *Anticancer Drugs.* 2023;34:373-83. doi: 10.1097/CAD.0000000000001462.
 27. Rashidi M, Mahmoudian E, Mirzaei S, Mazloomi SN, Bazi A, Azadeh H, et al. Harmaline downregulates angiogenesis markers and suppresses the growth of 4T1 breast cancer cells in vivo and in vitro. *Chem Biol Interact.* 2022;365:110087. doi: 10.1016/j.cbi.2022.110087.
 28. Yavari N, Emamian F, Yarani R, Reza Mohammadi-Motlagh H, Mansouri K, Mostafaie A. In vitro inhibition of angiogenesis by heat and low pH stable hydroalcoholic extract of *Peganum harmala* seeds via inhibition of cell proliferation and suppression of VEGF secretion. *Pharm Biol.* 2015;53:855-61. doi: 10.3109/13880209.2014.946057.
 29. Hamsa T, Kuttan G. Harmine inhibits tumour specific neo-vessel formation by regulating VEGF, MMP, TIMP and pro-inflammatory mediators both in vivo and in vitro. *Eur J Pharmacol.* 2010;649:64-73. doi: 10.1016/j.ejphar.2010.09.010.
 30. Zhang Y, Shi X, Xie X, Laster KV, Pang M, Liu K, et al. Harmaline isolated from *Peganum harmala* suppresses growth of esophageal squamous cell carcinoma through targeting mTOR. *Phytother Res.* 2021;35:6377-88. doi: 10.1002/ptr.7289.
 31. Ruan S, Jia F, Li J. Potential antitumor effect of harmine in the treatment of thyroid cancer. *Evid Based Complement Alternat Med.* 2017;2017. doi: 10.1155/2017/9402615.
 32. Javeed M, Rasul A, Hussain G, Jabeen F, Rasool B, Shafiq N, et al. Harmine and its derivatives: Biological activities and therapeutic potential in human diseases. *Bangladesh J Pharmacol.* 2018;13:203-13. doi: 10.3329/bjp.v13i3.34990.
 33. Pfeffer CM, Singh AT. Apoptosis: a target for anticancer therapy. *Int J Mol Sci.* 2018;19:448. doi: 10.3390/ijms19020448.
 34. Seyed Hassan Tehrani S, Hashemi Sheikh Shabani S, Tahmasebi Enferadi S, Rabiei Z. Growth inhibitory impact of *Peganum harmala L.* on two breast cancer cell lines. *Iran J Biotechnol.* 2014;12:8-14. doi:10.5812/IJB.18562.
 35. Shabani SHS, Tehrani SSH, Rabiei Z, Enferadi ST, Vannozzi GP. *Peganum harmala L.*'s anti-growth effect on a breast cancer cell line. *Biotechnol Rep.* 2015;8:138-43. doi: 10.1016/j.btre.2015.08.007.
 36. Qian S, Wei Z, Yang W, Huang J, Yang Y, Wang J. The role of BCL-2 family proteins in regulating apoptosis and cancer therapy. *Front Oncol.* 2022;12:985363. doi: 10.3389/fonc.2022.985363.
 37. Cory S, Adams JM. Killing cancer cells by flipping the Bcl-2/Bax switch. *Cancer cell.* 2005;8:5-6. doi: 10.1016/j.ccr.2005.06.012.
 38. Liu Z, Ding Y, Ye N, Wild C, Chen H, Zhou J. Direct activation of Bax protein for cancer therapy. *Med Res Rev.* 2016;36:313-41. doi: 10.1002/med.21379.
 39. Huang Hj, Yuan Xz. Recent progress in the direct liquefaction of typical biomass. *Prog Energy Combust Sci.* 2015;49:59-80. doi:10.1016/j.pecs.2015.01.003.
 40. Salimizadeh Z, Enferadi ST, Majidizadeh T, Mahjoubi F. Cytotoxicity of alkaloids isolated from *Peganum harmala* seeds on HCT116 human colon cancer cells. *Mol Biol Rep.* 2024;51:732. doi: 10.1007/s11033-024-09655-7.
 41. Rezaee M, Hajighasemi F. Sensitivity of hematopoietic malignant cells to *Peganum harmala* seed extract in vitro. *J basic clin pathophysiol.* 2019;7:21-6. doi: 10.22070/JBCP.2019.3982.1107.
 42. Ma Y, Wink M. The beta-carboline alkaloid harmine inhibits BCRP and can reverse resistance to the anticancer drugs mitoxantrone and camptothecin in breast cancer cells. *Phytother Res.* 2010;24:146-9. doi: 10.1002/ptr.2860.

43. Wu LW, Zhang JK, Rao M, Zhang ZY, Zhu HJ, Zhang C. Harmine suppresses the proliferation of pancreatic cancer cells and sensitizes pancreatic cancer to gemcitabine treatment. *Onco Targets Ther.* 2019;4585-93. doi: 10.2147/OTT.S205097.
44. Hayward RL, Macpherson JS, Cummings J, Monia BP, Smyth JF, Jodrell DI. Enhanced oxaliplatin-induced apoptosis following antisense Bcl-xL down-regulation is p53 and *Bax* dependent: Genetic evidence for specificity of the antisense effect. *Mol Cancer Ther.* 2004;3:169-78. doi: 10.1158/1535-7163.169.3.2.
45. Almendro V, Ametller E, García-Recio S, Collazo O, Casas I, Augé JM, et al. The role of MMP7 and its cross-talk with the FAS/FASL system during the acquisition of chemoresistance to oxaliplatin. *PLoS One.* 2009;4:e4728. doi: 10.1371/journal.pone.0004728.
46. Fan Y, Zeng F, Ma L, Zhang H. Effects of β -carboline alkaloids from *Peganum harmala* on the FAK/PI3K/AKT/Mtor pathway in human gastric cancer cell line SGC-7901 and tumor-bearing mice. *Pak J Pharm Sci.* 2021;34. doi: 10.36721/PJPS.2021.34.3.REG.891-898.1.
47. Hamsa TP, Kuttan G. Harmine activates intrinsic and extrinsic pathways of apoptosis in B16F-10 melanoma. *Chin Med.* 2011;6:1-8. doi: 10.1186/1749-8546-6-11.
48. Ding Y, He J, Huang J, Yu T, Shi X, Zhang T, et al. Harmine induces anticancer activity in breast cancer cells via targeting TAZ. *Int J Oncol.* 2019;54:1995-2004. doi: 10.3892/ijo.2019.4777.
49. Guo B, Cao S, Tóth K, Azrak RG, Rustum YM. Overexpression of *Bax* enhances antitumor activity of chemotherapeutic agents in human head and neck squamous cell carcinoma. *Clin Cancer Res.* 2000;6:718-24.
50. Zhao Y, Xiao B, Chen B, Qiao T, Fan D. Upregulation of drug sensitivity of multidrug-resistant SGC7901/VCR human gastric cancer cells by *bax* gene transduction. *Chin Med J (Engl).* 2000;113:977-80.